ZUSЧИЧИ ИИМ ЧЕЯПЕМВИРОБЕР ИЧИЧЕЙТЕНИЕ SEQUENCE P ИЗВЕСТИЯ АКАДЕМИИ НАУК АРМЯНСКОЙ ССР

Мерри-Лирыбин. 4 поправова XIV. № 4. 1961 Физико-математические науки

ФИЗИКА

Э. В. Сехпосян, М. Л. Тер-Микаелян

Угловое распределение и поляризация интерференционного излучения

В статье, методом прицельных параметров, исследуется угловое распределение тормозного излучения (§ 1), пар в кристалле (§ 2) и поляризация (§ 3). Показано, что этот метод расчета приводит к результатам, совпадающим с расчетом по теории возмущений для интерференционных частей соответствующих поперечников.

Ввеление

Известно [1], что в процессах тормозного излучения и рождения пар при сверхнысоких энергиях существенны большие продольные расстояния, растущие с энергией начальной частицы. При использовании кристаллической мишени эти расстояния могут стать сравнимыми с размерами элементарной ячейки. В этом случае необходим учет интерференционных явлений на периодической структуре кристалла. Ниже, методом прицельных нараметров (метод Вайцзексра-Вильямса), рассматривается угловое распределение квантов и электронно-позитронных нар, рождающихся в кристалле. Этим же методом исследована поляризация тормозного излучения.

При расчете тормозного излучения электрона в поле кристалла методом прицельных параметров исследование необходимо вести в системе координат, в которой электрон покоится. Псевдофотоны налетающего кристалла будут рассенваться на электроне и рассеянные кванты после перехода в лабораторную систему координат далут тормозное излучение.

Таким образом, вычисление поперечника тормозного излучения сводится к умножению формулы Клейна-Нишины на полное число всевдофотонов и переходу в систему покоящегося кристалла.

§ 1. Угловое распределение квантов

В работе [1] приводится выражение для дифференциального поперечника тормозного излучения в кристалле

$$dz = \frac{Z^2 r_v^2}{137\pi} \frac{dk_{11}}{k_{11}^2} \frac{dz}{z_1^2} \left| \frac{z_1}{z_2} + 1 - \frac{z}{z_1} - \frac{2z}{k_{11} z_1 z_2} \right| \times \frac{z^2}{k_{11}^2 z_1^2 z_2^2} \left| \times \right|$$

$$\times \int \frac{(k_2^2 + k_3^2) dk_2 dk_3}{(k^2 - 1/R)^2} \left| \sum_i e^{i k_i^2 r_i^2} \right|^2$$
(1.1)

гле $R=R_{\rm o}{\rm Z}^{-1}$ г, $R_{\rm o}$ — боровский радиус, $r_{\rm o}$ — классический радиус электрона, $r_{\rm i}$ — координаты узлов решетки. Кроме того в формуле (1.1) мы положили h-c=m=1 и ввели следующие обозначения: $k_{\rm ii},\ k_{\rm s},\ k_{\rm o}$ — соответственно импульсы, передаваемые ядрам вдоль движения и в плоскости периемдикулярной ему,

г = h> — эпергия излученного кванта,

 $t_1 = rac{m v^2 \gamma_k}{\hbar v k_{11}}$ — энергия налетиющего влектрона,

 $\varepsilon_2 = \varepsilon_1 - \varepsilon$ — энергия вторичного электрона.

Связь между $k_{\rm H}$ и углом $b_{\rm i}$ излучения извита дается соотношением

гте
$$x=\frac{b_1z_1}{mc^2}$$
 — угол излученного кванта в единицах $\frac{mc^2}{z_1}$, $b=\frac{zmc^2}{2z_1\left(z_1-z\right)}$ mc — минимальный продольный переданный импульс.

Произведя несложные преобразования (1.1) можно переписать в виде

$$d\sigma = \frac{4r_0^2 Z^2}{137\pi} \frac{dz}{z} x dx \left[\frac{z_1^2 - z_2^2}{1 - x^2 + z_1^2} - \frac{4x^2 z_2}{z_1^2 (1 + x^2)^4} \right] \times \\ \times \int \frac{k_2^2 - k_3^2 + dk_2 dk_3}{(k^2 + 1)R^2)^2} \left[\sum_{l} e^{l \vec{k} \cdot \vec{r}_l} \right]^2. \quad (1.2)$$

Найденный поперечник пужно просуммировать по всем возможным конечным состояниям кристаллической решетки. Из-за полноты функций, описывающих состояние решетки, и малости энергий возбуждения по сравнению с энергией электрона, это сведется к усреднению поперечника по основному состоянию. Ответ хорошо известен и сводится в некотором приближении к замене кристаллического фак-

тора
$$\left[\sum_{i} e^{\hat{I}(\vec{k}-\vec{e_{i}})^{2}} \right]$$
 пыражением

$$\left|\sum_{i} e^{i \vec{k} \cdot \vec{r_{i}}}\right|^{2} = \left(1 - e^{-k^{i}u^{i}}\right) N - e^{-k^{i}u^{i}} \left|\sum_{i} e^{i \vec{k} \cdot \vec{r_{i}}}\right|^{2}$$
 (1.3)

где u — средний квадрат тепловых колебаний атомов решетки, r_{i0} — равновесные положения атомов решетки, N — число атомов в единице объема кристалла.

Это соотношение легко получить исходя из формулы Комптона и выражечий для преобразования частоты и угля испускания кванта в лабораторную систему.

Легко видеть, что для кристаллов прамоугольной системы имеем

$$\left|\sum_{l} e^{i |\vec{k} \cdot \vec{r_{p}}|}\right|^{2} = N \frac{8\pi^{4}}{bfd} \sum_{lmn} \delta\left(k_{s} - \frac{2\pi}{b}l\right) \delta\left(k_{s} - \frac{2\pi}{f}m\right) \delta\left(k_{z} - \frac{2\pi}{d}n\right). \quad (1.4)$$

Здесь b, f, d — размеры кристалдической ячейки, k_s , k_s , k_s — составляющие импульса отдачи ядра по осям кристаллической решетки, l, m, n — целые положительные числа.

Соответственно количеству членов в (1.3), поперечники тормозного излучения и рождения пар будут состоять из трех частей $dz = dz_1 + dz_2 + dz_3$, где dz_1 — поперечник тормозного излучения при пренебрежении кристаллической структурой (формула Бете-Гайтлера), dz_2 — поправочный член, имеющий структуру предыдущего члена, связанный с тепловыми колебаниями и не зависящий от угла влета электрона в кристалл, dz_3 — интерференционный поперечник, резко зависящий, как мы унидим инже, от угла влета электрона. dz_4 — иморфная часть поперечника.

Займемся интерференционной частью.

$$dz_{0} = \frac{4r_{0}^{2}Z^{2}}{137\pi} \frac{d\varepsilon}{\varepsilon} \times dx \left[\frac{\varepsilon_{1}^{2} - \varepsilon_{2}^{2}}{\varepsilon_{1}^{2}(1 + x^{2})^{2}} - \frac{4x^{2}z_{2}}{\varepsilon_{1}(1 - x^{2})^{4}} \right] \times \\ \times \int \frac{(k_{2}^{2} - k_{3}^{2})e^{-k_{3}t}dk_{2}dk_{3}}{(k^{2} - 1)R^{2})^{2}} N \frac{8\pi^{a}}{bfd} \frac{\sum_{i} \delta\left(k_{x} - \frac{2\pi}{b}I\right)}{s} \\ \times \delta\left(k_{y} - \frac{2\pi}{f}m\right)\delta\left(k_{z} - \frac{2\pi}{d}n\right).$$
(1.5)

Пусть квант влетает под углом θ к оси z системы кристаллической решетки x, y, z. Введем систему координат x'y'z'. где ось z' направлена вдоль скорости надения электрона. Выпишем связь между k_x , k_x , k_z и k_z и k_z и опомощью углов Эйлера θ , η , ξ и угла z, характеризующего положение k_z в плоскости z'y' [Сесть угол между плоскостью криссталла (zy) в плоскостью содержащей оси z и z'].

$$\begin{split} k_x &= k_- \cos\left(\tau_i + 1 - \alpha\right) + k_1 \theta \sin 1, \\ k_y &= k_- \sin\left(\tau_i - 1 - \alpha\right) + k_1 \theta \cos 1, \\ k_z &= k_1 + k_- \theta \sin\left(\alpha + \tau_i\right). \end{split}$$

Будем полагать, что угод влега 9 мал. Импульсы, переданные ядрам вдоль направления движения $k_{11300} \approx 6$ гораздо меньше импульсов огдачи в плоскости, перпендикулярной к направлению движения. Следовательно

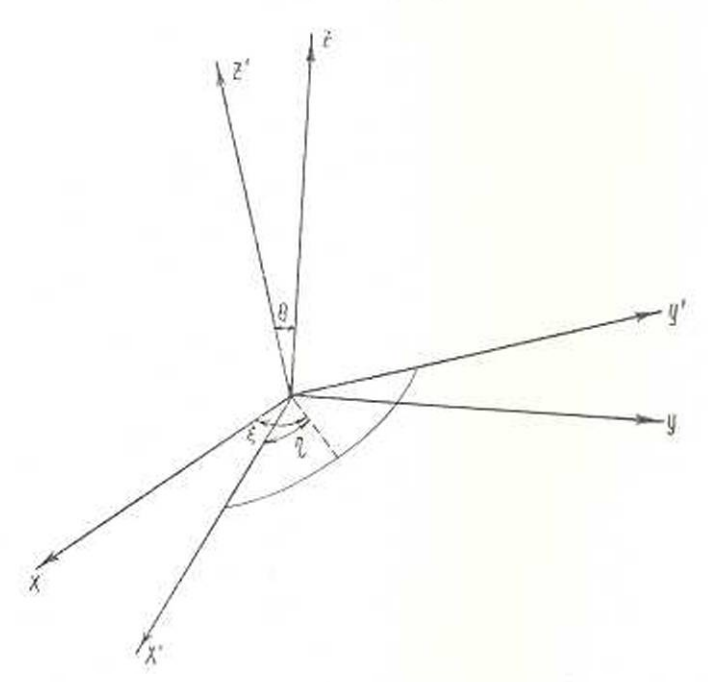
$$k_{11}h = k$$
 . (a)

Выпишем также условие наступления интерференционных эффектов

$$k_{\rm H} \sim \delta \ll \frac{2\pi}{d}$$
 (6)

Учитывая условие (а) и (б) и выбрав осн х' и у' так, чтобы т = 0, мы можем записать

$$\frac{8\pi^{3}}{bfd} \sum_{lmn} \delta\left(k_{x} - \frac{2\pi}{b} l\right) \delta\left(k_{y} - \frac{2\pi}{f} m\right) \delta\left(k_{z} - \frac{2\pi}{d} n\right) = \\
= \frac{8\pi^{3}}{bfd} \sum_{lmn} \delta\left[k_{z} \cos\left(\xi - z\right) - \frac{2\pi}{b} l\left[\delta\left[k_{z} \sin\left(\xi - z\right) - \frac{2\pi}{f} m\right] \times \delta\left[k_{z} - \frac{2\pi}{d} n\right]\right] \\
\times \delta\left[k_{z} - \frac{2\pi}{d} n\right].$$
(1.51)



фит. 1.

Подставим полученное выражение в формулу (1.5), усредним $d\sigma_0$ по углу 5 и проинтегрируем по а. Учитывая, что

$$\frac{1}{2\pi} \int_{b}^{2\pi} \sum_{lm} \delta \left[k_{\perp} \cos(\zeta + \alpha) - \frac{2\pi}{b} l \right] \delta \left[k_{\perp} \sin(\zeta + \alpha) - \frac{2\pi}{f} m \right] d\zeta =
= \frac{1}{\pi} \sum_{lm} \delta \left[k_{\perp}^{2} - \left(\frac{2\pi}{f}\right)^{2} m^{2} - \left(\frac{2\pi}{b}\right)^{2} l^{2} \right], \qquad (1.6)$$

$$\int_{b}^{2\pi} k_{\perp} dk_{\perp} \sum_{n} \delta \left[k_{11} + k_{\parallel} b \sin(\alpha - \eta) - \frac{2\pi}{d} n \right] = \sum_{n} \frac{2k_{\perp} dk_{\perp}}{\left[k_{12}^{2} b^{2} - \left(k_{11} - \frac{2\pi}{d} n\right)^{2} \right]}.$$

при условии
$$k_-b > |k_{11} - \frac{2\pi}{d} n|$$
 получим
$$d\tau_n = \frac{4r_0^2 Z^2}{137\pi} \frac{dz}{z} \times dx \left[\frac{z_1^2 + z_2^2}{(1-x_-)^2 z_1^2} - \frac{4x^2 z_2}{z_1^2 (1+x^2)^4} \right] \times$$

$$\times N \frac{8\pi^2}{bfd} \int_{-\infty}^{\infty} \frac{k_-^2}{k_-^2} \frac{dk_-e^{-k_1 a_2}}{k_1^2 - 1} \frac{2z_1^2 \left[k_+^2 - \left(\frac{2\pi}{b} \right)^2 m^2 - \left(\frac{2\pi}{f} \right)^2 t \right]}{\left[k_-^2 - \left(k_{11} - \frac{2\pi}{a} n \right)^2 - \left(k_{12} - \frac{2\pi}{a} n \right)^2 \right]}$$
(1.8)

Отметим, что интеграл (1.6) обращается в нуль, если (1.7) не выполнено. Из этого условия следует, что минимальное значение $k > \frac{k_{11}}{b} \sim \frac{\delta}{b}$ ноэтому нижний предел интеграла есть $\frac{\delta}{b} \sim O$ днако, если мы будем рассматривать углы влета $\frac{\delta}{b} \sim \frac{2\pi}{b}$ то, так как m и цедые положительные числа и $dz_n = 0$ при m = l = 0, инжний предел интеграла из-за присутствия δ -функции заменяется на $\frac{2\pi}{b}$ (считаем b > f). Верхинй же предел, который должен был быть порядка $\frac{mc}{b}$ можно заменить на бесконечность, ибо интеграл быстро сходится.

В формуле (1.51) три δ — функции накладывают условие на передваемый импульс $k_r = \frac{2\pi}{b} I$, $k_r = \frac{2\pi}{f} m$, $k_z = \frac{2\pi}{d} n$ и $k_{zz} = 2\pi \left(\frac{n\cos\theta}{d} + \frac{m\beta}{f} + \frac{e\gamma}{b}\right)$, гле $\cos\theta$, β , γ — направляющие косинусы влета электрона отвосительно осей кристалла. Из последнего видно, что, для удовлетворения условию интерференции $k_{zz} = \frac{2\pi}{d}$, при малых θ необходимо положить n=0.

Учитывая все сказанное и обозначив нижний предел через A, восле замены суммы по l и m на интеграл по $dmdl = 2\pi V m^2 + l^2 \times dV m^2 + l^2$ (b = f = d) (последнее, вместе с усреднением по ζ эквивалентно замене реального трехмерного кристалла динейной цепочкой атомов, мы получаем

$$dz_{u} = \frac{8N}{d} \frac{Z^{2}r_{0}^{2}}{137} \frac{d\varepsilon}{\varepsilon} x dx \left[\frac{\varepsilon_{1}^{2} + \varepsilon_{2}^{2}}{(1 + x^{2})^{2} \varepsilon_{1}^{2}} - \frac{4x^{2}\varepsilon_{0}}{\varepsilon_{1}(1 + x^{2})^{3}} \right] \times \\ \times \int_{1}^{\infty} \frac{k^{2}}{(k_{\perp}^{2} + 1/R^{3})^{2}} \left[\frac{k^{2}}{k_{\perp}^{2}} \frac{dk_{\perp}^{2}}{\varepsilon^{2} - k_{\perp}^{2}} \frac{e^{2}}{k_{\perp}^{2}} \right]$$
(1.9)

Однако, для оценьи погрешности такого перехода, вследствие несущественности условия, надагаемого δ функцией, мы под A будем понимать наибольшее из двух ведичин $\frac{3}{b}$ и $\frac{2\pi}{b}$.

Обозначим
$$I = \int\limits_{1}^{\infty} \frac{k^2 \ dk^2}{(k^2 + 1)R^2)^2} \frac{e^{-k^2 \ u}}{1 \ k^2 \ h^2 + k_{11}^2}$$
 - Перейдем к имчисле-

нию. Нетрудно показать, что

$$I = \frac{1}{h} \left(I_1 - \frac{1}{R^2} \frac{\sigma}{\sigma(1/R^2)} I_1 \right)$$
, the $I_1 - \int_{1}^{\infty} \frac{dk^2 e^{-k^2 d^2}}{k^2 + 1/R^2} \frac{dk^2 e^{-k^2 d^2}}{k^2 + 1/R^2}$.

Введем новую переменную интегрирования $k^2 = \frac{k_{11}^2}{6^2}$

Тогда, после простых преобразований, получим

$$l_{1} = 2e^{\frac{i\pi^{2}k^{2}}{R^{2}}} \begin{pmatrix} 1 & k_{11}^{2} \\ R^{2} & \eta^{2} \end{pmatrix} \cdot \begin{pmatrix} -\pi & \arg y \end{pmatrix} \cdot \begin{pmatrix} A^{2} - \frac{k_{11}^{2}}{\theta^{2}} \\ \frac{1}{R^{2}} & k_{11}^{2} \\ \frac{1}{R^{2}} & \eta^{2} \end{pmatrix} - \begin{pmatrix} -\pi^{2}(\frac{1}{R^{2}} - \frac{k_{11}^{2}}{\theta^{2}}) \\ -\chi^{2}(\frac{1}{R^{2}} - \frac{k_{11}^{2}}{\theta^{2}}) \end{pmatrix} \cdot \begin{pmatrix} -\pi^{2}(\frac{1}{R^{2}} - \frac{k_{11}^{2}}{\theta^{2}}) \\ e^{-i\pi^{2}}dy + \frac{\pi^{2}}{R^{2}} \end{pmatrix} \cdot \begin{pmatrix} -\pi^{2}(\frac{k_{11}^{2}}{\theta^{2}} - \frac{1}{R^{2}}) \\ -\pi^{2}(\frac{k_{11}^{2}}{\theta^{2}} - \frac{1}{R^{2}}) \end{pmatrix} \cdot \begin{pmatrix} -\pi^{2}(\frac{k_{11}^{2}}{\theta^{2}} - \frac{1}{R^{2}}) \\ -\pi^{2}(\frac{k_{11}^{2}}{\theta^{2}} - \frac{1}{R^{2}}) \end{pmatrix} \cdot \begin{pmatrix} -\pi^{2}(\frac{k_{11}^{2}}{\theta^{2}} - \frac{1}{R^{2}}) \\ -\pi^{2}(\frac{k_{11}^{2}}{\theta^{2}} - \frac{1}{R^{2}}) \end{pmatrix} \cdot \begin{pmatrix} -\pi^{2}(\frac{k_{11}^{2}}{\theta^{2}} - \frac{1}{R^{2}}) \\ -\pi^{2}(\frac{k_{11}^{2}}{\theta^{2}} - \frac{1}{R^{2}}) \end{pmatrix} \cdot \begin{pmatrix} -\pi^{2}(\frac{k_{11}^{2}}{\theta^{2}} - \frac{1}{R^{2}}) \\ -\pi^{2}(\frac{k_{11}^{2}}{\theta^{2}} - \frac{1}{R^{2}}) \end{pmatrix} \cdot \begin{pmatrix} -\pi^{2}(\frac{k_{11}^{2}}{\theta^{2}} - \frac{1}{R^{2}}) \\ -\pi^{2}(\frac{k_{11}^{2}}{\theta^{2}} - \frac{1}{R^{2}}) \end{pmatrix} \cdot \begin{pmatrix} -\pi^{2}(\frac{k_{11}^{2}}{\theta^{2}} - \frac{1}{R^{2}}) \\ -\pi^{2}(\frac{k_{11}^{2}}{\theta^{2}} - \frac{1}{R^{2}}) \end{pmatrix} \cdot \begin{pmatrix} -\pi^{2}(\frac{k_{11}^{2}}{\theta^{2}} - \frac{1}{R^{2}}) \\ -\pi^{2}(\frac{k_{11}^{2}}{\theta^{2}} - \frac{1}{R^{2}}) \end{pmatrix} \cdot \begin{pmatrix} -\pi^{2}(\frac{k_{11}^{2}}{\theta^{2}} - \frac{1}{R^{2}}) \\ -\pi^{2}(\frac{k_{11}^{2}}{\theta^{2}} - \frac{1}{R^{2}}) \end{pmatrix} \cdot \begin{pmatrix} -\pi^{2}(\frac{k_{11}^{2}}{\theta^{2}} - \frac{1}{R^{2}}) \\ -\pi^{2}(\frac{k_{11}^{2}}{\theta^{2}} - \frac{1}{R^{2}}) \end{pmatrix} \cdot \begin{pmatrix} -\pi^{2}(\frac{k_{11}^{2}}{\theta^{2}} - \frac{1}{R^{2}}) \\ -\pi^{2}(\frac{k_{11}^{2}}{\theta^{2}} - \frac{1}{R^{2}}) \end{pmatrix} \cdot \begin{pmatrix} -\pi^{2}(\frac{k_{11}^{2}}{\theta^{2}} - \frac{1}{R^{2}}) \\ -\pi^{2}(\frac{k_{11}^{2}}{\theta^{2}} - \frac{1}{R^{2}}) \end{pmatrix} \cdot \begin{pmatrix} -\pi^{2}(\frac{k_{11}^{2}}{\theta^{2}} - \frac{1}{R^{2}}) \\ -\pi^{2}(\frac{k_{11}^{2}}{\theta^{2}} - \frac{1}{R^{2}}) \end{pmatrix} \cdot \begin{pmatrix} -\pi^{2}(\frac{k_{11}^{2}}{\theta^{2}} - \frac{1}{R^{2}}) \\ -\pi^{2}(\frac{k_{11}^{2}}{\theta^{2}} - \frac{1}{R^{2}}) \end{pmatrix} \cdot \begin{pmatrix} -\pi^{2}(\frac{k_{11}^{2}}{\theta^{2}} - \frac{1}{R^{2}}) \\ -\pi^{2}(\frac{k_{11}^{2}}{\theta^{2}} - \frac{1}{R^{2}}) \end{pmatrix} \cdot \begin{pmatrix} -\pi^{2}(\frac{k_{11}^{2}}{\theta^{2}} - \frac{1}{R^{2$$

Рассмотрим случай углов влета, удовлетворяющих условию $\frac{k_{\rm B}}{q} = \frac{\delta \left(1 + x^2\right)}{q} = \frac{2\pi}{b}$. Тогла, как уже отмечалось, $A = \frac{k_{\rm B}}{q}$ и мы имеем

$$I = \frac{\pi R}{\eta} \frac{\exp\left[\frac{u^2}{R^2}\right]}{\left(1 + \frac{\delta^2 + 1 - x^2}{\eta^2}\right)^{\frac{1}{2}}} \left[1 - \Phi\left(1 - \frac{u^2}{P^2} - \overline{u^2} \frac{k_{11}^2}{\eta^2}\right)\right] \times \\ + \left[1 + \frac{u^2}{R^2} - \frac{1}{2\left(1 - \frac{\delta^2 + 1}{\eta^2} + x^2 - R^2\right)}\right] \\ - V = u^2 \exp\left[-\overline{u^2} \frac{k_{11}^2}{\eta^2}\right] \left(1 + \frac{\delta^2 + 1 - x^2}{\eta^2}\right)^{-1}, \quad (1.11)$$

где
$$\Phi\left(x\right)=\frac{2}{V\pi}\int\limits_{0}^{3}e^{-x^{2}}dx.$$
 Рассмогрим условие $\frac{k_{11}}{\eta}=\frac{\delta\left(1+x^{2}\right)}{\eta}\sim\frac{2\pi}{b}<\frac{1}{F}$. Тогда $A=\frac{2\pi}{b}$ и

$$\begin{split} I_1 &= 2e^{\frac{u^2}{R^2}} \Big| \left(\frac{1}{R^2}\right)^{\frac{1}{2}} \left(\frac{\pi}{2} - \operatorname{arctg} R \right) - \left(\frac{2\pi}{b}\right)^2 - \frac{k_{11}^2}{b^2} \Big) - \\ &- RV - \int_0^{\left(\frac{u^2}{R^2}\right)^2} \exp\left[-x^2\right] dx - \int_0^{u^2} e^{-\frac{\pi}{2}R^2} dz \int_0^{x} \frac{\left(\frac{2\pi}{b}\right)^2 - \frac{k_{11}^2}{b^2}}{e^{-\frac{\pi}{2}R^2}} \\ &- \exp\left[-\frac{\pi}{b}\right] \exp\left[-\frac{\pi}{b}\right] - \frac{1}{b^2} - \frac{k_{11}^2}{b^2} - \frac{k_{11}$$

При не очень высоких температурах, когда $\frac{1}{R} = \frac{1}{1 |\vec{u}^2|} \cdot 6$ удем иметь для I (разложив по налым нараметрам $\frac{4\pi^2}{b^2}|\vec{u}^2| \cdot 1, \frac{4\pi^2}{b^2}|R^2| \cdot 1$)

$$I = \frac{\exp\left[\frac{u^2}{R^2}\right]}{6} \left(\pi R - 21 \mp R\right)^{\left[\frac{u^2}{R^2}\right]^{1/2}} e^{-v^2} dx \left(\frac{1}{2} - \frac{u^2}{R^2}\right) - \frac{1 + \pi u^2}{6} - \frac{2R^4}{3} \left[\left(\frac{2\pi}{B}\right)^2 - \frac{k_{11}^2}{6^2}\right]^{\frac{1}{2}} \right)$$
(1.12)

Отметим, что последний член является результатом учета трехмерности кристалла и для линейного случая отсутствиует.

При низких температурах, порядка температуры Дебая, можно пренебречь величиной $\frac{n^2}{R^2}$ и получить

$$I = \frac{R}{\eta} \left[\frac{\pi}{2} - \frac{V \pi u^2}{R} \right] \quad \text{min} \quad I = \frac{R\pi}{2\eta}. \quad (1.13)$$

Обратимся к аморфион части поперечника $d\varepsilon_1 + d\varepsilon_2$. Как следует из (1.2) и (1.3)

$$dz_{1} = N \frac{4r_{0}^{2}Z^{2}}{137} \frac{dz}{z} \times dx \left[\frac{z_{1}^{2} + z_{2}^{2}}{z_{1}^{2}(1 + x^{2})^{2}} - \frac{4x^{2}z_{2}}{z_{1}(1 + x^{2})^{4}} \right] \int_{0}^{\infty} \frac{k^{2} dk^{2}}{\left(k^{2} + k_{11}^{2} + \frac{1}{R^{2}}\right)^{2}}.$$

$$(1.14)$$

Тогда выражение для dz_i будет иметь догарифмическую точность. Точное выражение можно взять из работы Шиффа [2]

$$dz_1 = 4N \frac{Z^2 r_0^2 dz}{137 z} \times dx \left\{ \left[\frac{z_1^2 + z_2}{(1+x^2)^2 z_1^2} - \frac{4x^2 z_2}{z_1 (1+x^2)^4} \right] \times \right.$$

$$\times \ln \left[\frac{\delta^2}{m^2 c^4} + \frac{Z^{c_1}}{111^2 (1-x^2)^2} \right]^{-1} + \frac{16x^2 z_2}{(1+x^2)^4 z_1} - \frac{(z_1 + z_2)^2}{(1-x^2)^2 z_1^2} \right\}. \quad (1.15)$$

Для dog получим выряжение

$$d\sigma_{2} = -N \frac{4Z^{2}r_{0}^{2}}{137} \frac{dz}{z} \times dx \left[\frac{z_{1}^{2} - z_{2}^{2}}{(1 - x^{2})^{2}z_{1}} - \frac{4x^{2}z_{2}}{z_{1}(1 + x^{2})^{4}} \right] \int_{0}^{x} \frac{k^{2} dk \ e^{-k_{\perp}^{2} \overline{u}^{2}}}{\left(k^{2} - \frac{1}{R^{2}}\right)^{2}}$$
(1.16)

Нетрудно показать, что

$$\begin{split} & \int\limits_{0}^{\infty} \frac{k_{\perp}^{2} dk_{\perp}^{2} e^{-\frac{k_{\perp}^{2} u^{2}}{R^{2}}}}{\left(k_{\perp}^{2} + \frac{1}{R^{2}}\right)^{2}} = -\left|e^{\frac{u^{2}}{R^{2}}} E_{i} \left(-\frac{\overline{u^{2}}}{R^{2}}\right) - \frac{1}{R^{2}} \frac{\partial}{\partial \left(\frac{1}{R^{2}}\right)} e^{\frac{u^{2}}{R^{2}}} E_{i} \left(-\frac{\overline{u^{2}}}{R^{2}}\right)\right| = \\ & = -\left[e^{\frac{u^{2}}{R^{2}}} E_{i} \left(-\frac{\overline{u^{2}}}{R^{2}}\right) \left(1 - \frac{\overline{u^{2}}}{R^{2}}\right) + 1\right] \cdot E_{i} \left(-x\right) = -\int\limits_{0}^{\infty} e^{-t} t^{-1} dt. \end{split}$$

Отметим, что последняй интеграл (1.15) при $n^2 \rightarrow 0$ имеет догарифмическую точность, поэтому точным выражением Шиффа для dz_1 имеет смысл пользоваться лишь при достаточно высоких температурах, когда $\frac{1}{n^2} \ll \frac{1}{R^2}$ и интеграл (1.16) точный. При $n^2 \rightarrow 0$ остается только интерференционная часть так как (1.16) и (1.14) сокращаются.

Из сравнения формул иля разных слагаемых полного поперечника $dz=dz_1+dz_2$ dz_n следует, что при постаточно малых углах влета основной вклад в тормозное излучение под малыми углами в оси кристалла дает интерференционная часть. При углах $b<\sqrt{u^2}$ > $< (1+x^2)$ интерференционное излучение экспоненциально мало. При $\overline{u^2} \to \infty$ остается только аморфияя часть dz_1 . Формула, полученная для линейной ценочки с помощью теории возмущений [3], совпадает с нашей после усреднения по азимутальному углу z, замены сумми но m, l на интеграл и при $A=\frac{k_{11}}{b} = \frac{2\pi}{b}$ (для линейной ценочки $b\to\infty$). Как наши формулы, так и результаты работы [3] полученым предположении полной экранирозки.

§ 2. Рождение пар

Поскольку матричный элемент для рождения пар от 7-квантов совнадает с матричным элементом для процесса тормозного излучения, то процедура получения формулы для рождения пар сводится к из-

менению плотности конечных состояний, т. е. — умножению на множитель $\frac{z_1^2 dz}{z_1^n dz}$ и переобозначению переменных $z_1 \to z$ и $z_2 \to -z$. ($z_1 \to z_2$ нергия электрона, $-z_2 \to z_3$ позитрона). Угол $z_2 \to z_3$ угол влета $z_3 \to z_4$ кванта в кристалл, $z_3 \to z_4$ есть угол между направлением влета кванта и направлением вылета электрона.

$$dz = dz_1 - dz_2 + dz_4 =$$

$$= 4N^2 \frac{Z^2 r_0^2}{137} \frac{z^2 dz_+}{(z_- + z_-)^3} x dx \left\{ \left[\frac{z^2 + z^2}{(1 + x^2)^3 z^2} + \frac{4x^2 z_+}{z_- (1 - x^2)^4} \right] \times \right.$$

$$\times \ln \left[\frac{\tilde{c}^2}{m^2 c^4} + \frac{Z^{z_3}}{111^2 (1 + x^2)^2} \right]^{-1} - \frac{16x^2 z_+}{(1 + x^2)^4 z_-} - \frac{(z_1 - z_-)^2}{(1 + x^2)^2 z_-^2} \right\} +$$

$$4N \frac{Z^2 r_0^2}{137} \frac{z^2 dz_+}{(z_- + z_-)^3} x dx \left[\frac{z_-^2 + z_-^2}{(1 + x^2)^2 z_-^2} + \frac{4x^2 z_+}{z_- (1 + x^2)^4} \right] \times$$

$$\times \left[e^{\tilde{c}^2} \left(1 + \frac{u^2}{R^2} \right) E_i \left(-\frac{\tilde{u}^2}{R^2} \right) + 1 \right] + 8 \frac{N}{d} \frac{Z^2 r_0^2}{137} \frac{z_-^2 dz_+}{[z_- + z_-]^3} \times$$

$$\times x dx \left[\frac{z_-^2 + z_-^2}{(1 + x^2)^2 z_-^2} + \frac{4x^2 z_+}{z_- (1 + x^2)^4} \right] \cdot I, \qquad (2.1)$$

тде / определяется выражениями (1.11)—(1.13). Все выводы предылумего параграфа легко перенести и на этот случай.

§ 3. Поляризация

Рассмотрим поляризацию княнтов гормозного излучения. Для вычисления поперечника необходимо использовать формулу для рассеяния поляризованного кванта на свободном электроне. Будем исходить из формулы

$$d\Phi = \frac{r_0^2 d\Omega}{4} \frac{s^{2}}{s^2} \left(\frac{s}{s'} + \frac{s'}{s} - 2 + 4\cos^2\theta_4 \right)$$
 (3.1)

тле у и у частоты падающего и рассеянного фотонов, θ_2 — угол между направлениями поляризаций налетающего и игоричного фотонов. Усредник 3.1 по поляризации налетающего псевдофотона, получаем

$$dz = \frac{4}{4} r_0^2 d\Omega \frac{v^2}{v^2} \left[\frac{v}{v'} + \frac{s'}{v} - 2\cos^2 z \sin^2 \theta \right]$$
 (3.2)

Здесь 9 — угол рассеяния кванта.

 \ddot{i} есть угол между плоскостью поляризации рассеянного псевдофотона $(\vec{e'}, \vec{n'})$ в плоскостью $(\vec{n'}, \vec{n})$, где $\vec{e'}$ — вектор поляризации рассеянного кванта, \vec{n} — направление движения начального псевдофотона, п'— направление движения рассеянного псевдофотона. Вычисление поперечника сволитси к умножению (3.2) на соответствующую формулу для числа квантов и переходу в систему покоящегося ядра (или кристалла). Приведем окончательные формулы. Для одного атома

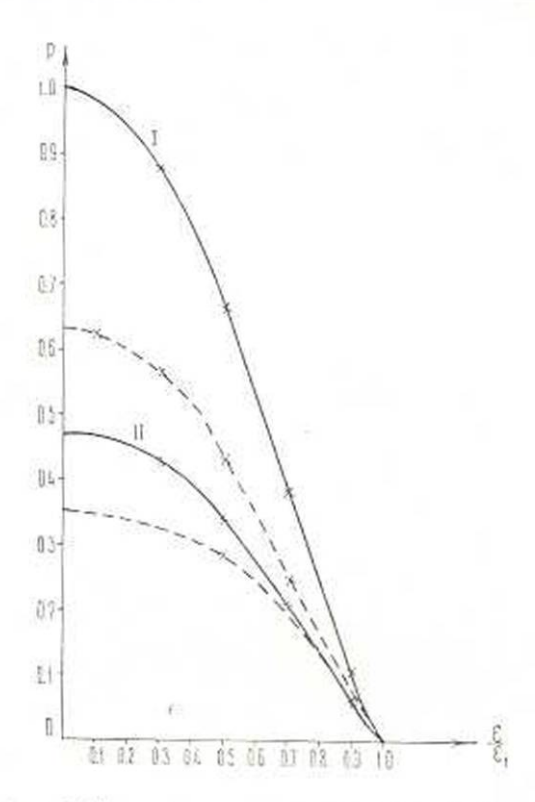
$$dz = 4xdx \frac{Z^2 r_0^2}{137} \frac{dz}{z} \left[\frac{1}{2} \frac{z_1^2 + z_2^2}{z_1^2 (1 + x^2)^2} \right] \int_{z_1}^{z_2} \frac{k^2 dk^2}{\left(k^2 + k_D^2 + \frac{1}{R^2}\right)^2}$$
 (3.3)

$$dz_{11} = 4xdx \frac{Z^2r_0^2}{137} \frac{dz}{z} \left[\frac{1}{2} \frac{z_1^2 + z_2^2}{z_1^2(1 + x^2)^2} - \frac{4x^2z_2}{z_1(1 - x^2)^4} \right] \int \frac{k^2}{\left(k^2 + k_{11}^2 + \frac{1}{R^2}\right)^2} \frac{dz}{(3.4)}$$

Здесь dz соответствует углу $\xi=90$, а $dz_{11}-y_{1}$ лу $\xi=0$. Поляризация, определяемая как $P=(dz_1-dz_{11})/(dz_1+dz_{11})$, наибольшая при некотором оптимальном угле испускания $b_1=\frac{mc^2}{\varepsilon_1}$. При фиксированном угле испускания поляризация панбольшая для самых мягких квантов, достигая значения равного единицы при $z<\varepsilon_1$, $b=\frac{mc^2}{\varepsilon_1}$ (см. фит. 2. Сравнение с точными формулами, выведенными с помощью теории возмущений [3], [4], приводит к количественным расхождениям. Они обусловлены логарифиической источностью метола прицельных параметров и указывают на неприменимость этого метода к вычислению поляризационных явлений. Отметим, что формулы, эквивалентные (3.3) и (3.4), были получены в работе [5], однако в упомянутых работах не производилось сравнения с точными рассчетами. В случае кристалла, формулы для dz и dz_{11} выглядят так

$$dz = 4xdx \frac{Z^2 r_0^2 dz}{137} \left[\frac{1}{z} \frac{z_1^2 - z_2^2}{z_1^2 (1 + x^2)^2} - \left| \int_{-\infty}^{z} \frac{k^2 dk^2}{\left(k^2 - k_{11}^2 + \frac{1}{R^2} \right)^2} \right| \frac{\sum_{i} e^{i k^2 r_i^2 - z_2^2}}{\left(k^2 - k_{11}^2 + \frac{1}{R^2} \right)^2} \right] \frac{\sum_{i} e^{i k^2 r_i^2 - z_2^2}}{137 - z} \left[\frac{4x^2 z_2}{z_1^2 (1 - x^2)^2} - \frac{4x^2 z_2}{z_1 (1 + x^2)^4} \right] \times \sqrt{\frac{k^2 dk^2}{k^2 - k_{11}^2 + \frac{1}{R^2}}} \frac{\left(k^2 - k_{11}^2 + \frac{1}{R^2} \right)^2}{\left(k^2 - k_{11}^2 + \frac{1}{R^2} \right)^2}$$

Из последних выражений видно, что поляризация P для кристалла совпадает с поляризацией для одного атома, рассчитанной тем же методом прицельных параметров. Сравнение с результатами расчетов для кристалла [3] по теории возмущений (после интегрирования последних по углу ϕ_1) показывает, что метод Вайцзскера-Вильямса



Фиг. 2. Кривая I соответствует углу издучения $\theta_1=\frac{mc^2}{\tau_1}$, кривая II— углям издучения $\theta_2=\frac{1}{2}\times\frac{mc^2}{\tau_1}$ и $\theta_3=2\frac{mc^2}{\tau_1}$. Пунктирной линией правелены кривые для подвризации издучения на одном атоме, рассчитанные по теория подмущений, соответственно для углов издучения $\theta_3=\frac{mc^2}{\tau_1}$ и $\theta_4=\frac{1}{2}\frac{mc^2}{\tau_2}$.

приводит к точным результатам при тех углах влета электрона в кристалл, при которых вклад в излучение вносится, в основном, интерференционной частью. Для тех же углов влета, для которых существенна и аморфиая часть, результаты метода прицельных параметров для кристалла, так же как и для атома, приводят к большой погрешности в поляризации, в то время как при вычислении полных поперечников погрешность только догарифмическая.

Филический институт АН Армянской ССР

Поступила 29 ХИ 1960

է. Վ. Սեղբոսյան։ Մ. Լ. Տեշ-Միքաելյան

ԻՆՏԵՐՖԵՐԵՆՑԻՈՆ ՃԱՌԱԳԱՅՔՄԱՆ ԱՆԿՅՈՒՆԱՅԻՆ ԲԱԾԽՈՒՄԸ ԵՎ ԲԵՎԵՌԱՑՈՒՄԸ

UUTONOBBU

Հոգվածում բախման պարաժհարների ժեխողով բննարկվում է արգելակման ճառագայխման (\S 1)- զույգերի ծնման (\S 2) անկլունային բաշխումը բյուրեղում և ճառագայխման թևեռացումը (\S 3):

Ցույց է արվում, որ հաջվման արդ մեխեուր հանդում է ալնպիսի արգյունքների, որոնք համընկնում են դրգոման տեսու Թլամբ ինաերֆերենցիոն հասագայինման համար ստացված համապատասիսան արդյունքների հետ։

ЛИТЕРАТУРА

- Тер-Микиелян М., Л. Интерференционное ислучение сверхбыстрых электронов. —ЖЭТФ*. 25, 296, 289, 1953.
- Schiff L. I. Energy-Angle distribution of thrm target bremsstrahlung, "Phys. Rev.", 83, 252, 1951.
- Pherall D. Polarization of bromsstrablung from monocrystalline targets. Phys. Rev. .. 107, 223, 1956.
- Michael M. May. On the polarization of high energy bremsstrahlung and of high energy Pairs. Phys. Rev. 84, 265, 1951.
- May M. and Wick G. C. On the production of polarized high energy X-Rays. Phys. Rev. 81, 628, 1951.